



Available online: <http://ijhe.tums.ac.ir>

مقاله پژوهشی



## تجزیه زیستی مالاتیون توسط کشت میکس سویه‌های *Pseudomonas aeruginosa BNA2* و *Serratia marcescens BNA1*

بنفسه نادعلیان<sup>۱</sup>، محسن شهریاری مقدم<sup>۲\*</sup>، غلامحسین ابراهیمی پور<sup>۳</sup>، بهاره نادعلیان<sup>۱</sup>

۱- دانشجوی کارشناسی ارشد میکروبیولوژی، گروه میکروبیولوژی، دانشکده علوم زیستی، دانشگاه شهید بهشتی، تهران، ایران

۲- نویسنده مسئول: دکترای زیست شناسی دریا، استادیار گروه محیط زیست، دانشکده منابع طبیعی، دانشگاه زابل، زابل، ایران

۳- دکترای میکروبیولوژی، دانشیار گروه میکروبیولوژی، دانشکده علوم زیستی، دانشگاه شهید بهشتی، تهران، ایران

### اطلاعات مقاله: چکیده

**زمینه و هدف:** حشره کش‌های ارگانوفسفره استفاده‌های گسترده خانگی و صنعتی داشته و منجر به ایجاد اثرات سرمی در سیستم‌های زیستی می‌شوند. زیست پالایی یکی از مهمترین روش‌های تصفیه این ترکیبات در محیط زیست است. این روش به دلیل هزینه‌ها و آثار زیست محیطی کمتر، جایگزین مناسبی برای روش‌های فیزیکو-شیمیایی است.

**روش بررسی:** توان تجزیه زیستی مالاتیون توسط سویه‌های *Serratia marcescens BNA1* و *Pseudomonas aeruginosa BNA2* جداسازی شده از منطقه ارونده کنار بررسی و مطالعه شد. به منظور بررسی توان تجزیه زیستی مالاتیون، سویه *BNA1* بر روی محیط کشت پایه معدنی به همراه مالاتیون خالص کشت داده شد. همچنین توان تجزیه زیستی مالاتیون خالص توسط کشت خالص و میکس سویه‌های *BNA1* و *BNA2* به همراه و بدون سورفتکتانت (*Tween 80*)، توسط دستگاه کروماتوگرافی گازی سنجش گردید.

**یافته‌ها:** نتایج نشان داد سویه‌های استفاده شده قادر به تجزیه زیستی مالاتیون خالص هستند. ارتباط معنی داری بین میزان تجزیه مالاتیون در تیمارهای مختلف مشاهده گردید. میزان تجزیه زیستی مالاتیون در تیمارهای *BNA1+Ma* (۳۳/۸)، *BNA1+Ma* (۲۶/۴۵)، *BNA2+Ma* (۴۰/۹۶)، *BNA2+Ma+Tween80* (۴۱/۰۵)، *BNA1+Ma+Tween80* (۴۰/۱۷)، *BNA1+BNA2+Ma+Tween80* (۶۷/۷۹) درصد بادست آمد.

**نتیجه‌گیری:** استفاده از کشت میکس به همراه سورفتکتانت منجر به بالاترین کارایی تجزیه زیستی مالاتیون می‌شود. نتایج این مطالعه پس از انجام مطالعات پایلوت می‌تواند برای زیست پالایی مناطق آلوده به سموم ارگانوفسفره استفاده گردد.

واژگان کلیدی: مالاتیون، تجزیه زیستی،  
*Pseudomonas aeruginosa*, *Serratia marcescens*, آرونده کنار،

پست الکترونیکی نویسنده مسئول:  
mohsen.shahriari@uoz.ac.ir

## مقدمه

می‌توان به استفاده از فتوکاتالیست‌های نیمه‌هادی مانند  $TiO_2$  (از مشکلات آن میزان بالای انرژی مصرفی توسط این روش است)<sup>(۷)</sup>، استفاده از نانو فیلترها (این روش در پالایش فاضلاب‌های صنعتی که دارای غلظت بالای آفت کش هستند، استفاده نشده است)<sup>(۸)</sup> و همچنین استفاده از روش‌های اکسیداسیون پیشرفت‌ههای پرتوهای گاما و همچنین الکترون‌های پرشتاب (امکان ایجاد ترکیبات جانبی با سمیت بیشتر وجود دارد)<sup>(۹)</sup> اشاره کرد. استفاده از روش‌های فیزیکی و شیمیایی برای رفع این آلودگی‌ها نه تنها اقتصادی نیست، بلکه راه حل کامل و جامعی برای حل مشکل نیز نیستند، چراکه ترکیبات را به طور کامل از محیط حذف نمی‌کنند. بنابراین درمان زیستی روشی ارزان، معقول، کارآمد و دوستار محیط زیست است<sup>(۱۰)</sup> امروزه میکرووارگانیسم‌ها به دلیل پتانسیل کاربردیشان در پاکسازی آلودگی‌های محیطی توجه زیادی را به خود جلب کرده‌اند. نقش میکرووارگانیسم‌ها در تجزیه سموم مختلف به خوبی اثبات شده است. باکتری‌های مختلفی با توانایی تجزیه زیستی حشره کش‌های ارگانوفسفره و دیگر آفت کش‌ها جداسازی شده‌اند که از آنها می‌توان به *Lysinibacillus sp.*، *Agrobacterium sp.*،<sup>(۱۱)</sup> *Sphingomonas sp.*<sup>(۱۲)</sup>، *radiobacter* اشاره کرد. از مطالعات انجام گرفته در زمینه تاثیر عوامل محیطی در تجزیه زیستی مالاتیون می‌توان *Shibamoto* و *Okamoto* به مطالعات انجام شده توسط<sup>(۱۳)</sup> اشاره کرد. هم چنین *Shan* و همکاران نیز<sup>(۱۴)</sup> تاثیر اضافه کردن ترکیبات مختلف بر میزان توان تجزیه *Acinetobacter johnsonii MA19* را زیستی سویه مطالعه کردند. مالاتیون یکی از حشره‌کش‌های ارگانوفسفره است که برای کترل حشرات کشاورزی و خانگی به طور گسترده استفاده می‌شود. این حشره‌کش همچنین با نام‌های *Mercaptothion* و *Maldison*، *Carbophos* شده است. *Karyab* و همکاران<sup>(۱۵)</sup> غلظت مالاتیون را در آب‌های سطحی استان قزوین اندازه‌گیری کردند. بیشترین

استفاده وسیع از منابع طبیعی و تولید بالای ترکیبات زنوبیوتیک از قبیل آفت کش‌ها موجب مشکلات زیست محیطی مختلفی از قبیل آلودگی‌هوا، آب و خاک شده است. امروزه بیشترین آفت کش‌های مورد استفاده متعلق به گروه ارگانوفسفره است. این آفت کش‌ها به صورت گستردۀ برای کترل آفات کشاورزی و خانگی استفاده می‌شوند. مقدار کل مصرف سوموم ارگانوفسفره بالغ بر ۳۸ درصد میزان آفت کش‌های استفاده شده است. استفاده وسیع از این سوموم سالیانه در حدود ۳ میلیون مسمومیت و ۲۰۰۰۰ مرگ و میر ایجاد می‌کنند<sup>(۱)</sup>. بافت هدف سوموم ارگانوفسفره در جانوران سیستم عصبی است. این سوموم آنزیم استیل کولین استراز را غیرفعال می‌کنند. نتیجه مهار این آنزیم تجمع استیل کولین آزاد در بافت عصبی و طولانی شدن پتانسیل عمل و در نهایت ایجاد اسپاسم، تشنج، فلچ و در نهایت مرگ است<sup>(۲)</sup>. در مورد اثرات این سوموم بر بافت‌های غیر هدف و همچنین اثرات بلند مدت (مزمن) این ترکیبات مطالعات کمی انجام شده است. از اثرات جانبی این مواد می‌توان به واکنش‌های اکسیداتیو، خواص ایمونوتوكسیک، مختلف کردن سیستم‌های متابولیکی، ژنوتوكسیک و سمیت بر کبد اشاره کرد<sup>(۳)</sup>. اغلب مردم به دلیل آلودگی محیط و یا استفاده از محصولات کشاورزی آلوده به آفت کش‌ها به صورت مستمر در معرض این ترکیبات هستند<sup>(۴)</sup> و مطالعات بلند مدت می‌تواند نشان دهنده ارتباط بین این مواد و سرطان است<sup>(۵)</sup>. تخمین زده می‌شود مصرف سالیانه آفت کش‌ها بالغ بر ۴ ton میلیون است در حالی که تنها یک درصد از این میزان به آفات هدف می‌رسد<sup>(۶)</sup>. به علت استفاده وسیع از این سوموم، آلودگی‌های آب و خاک ناشی از آن‌ها در مناطق مختلف گزارش شده است<sup>(۱)</sup> لذا تصفیه این مواد در محیط اهمیت زیادی دارد. این ترکیبات به روش‌های مختلف فیزیکی، شیمیایی و زیستی قابل حذف هستند. از روش‌های فیزیکی-شیمیایی که برای تصفیه این مواد استفاده شده است

خالص، سویه BNA1 پس از کشت در محیط نوترینت براث با کدورتنهایی ( $OD_{600nm}$ ) ۰/۱ بـ ارلن هـای شـیارـدار ۲۵۰ mL حاوـی ۵۰ mL محـیـط پـایـه مـعـدـنـی بـه هـمـرـاه ۱۰۰ μL مـالـاتـیـون خـالـص بـه عنـوـان تـنـهـا منـعـ کـرـبـن وـ انـرـزـی بـا pH بـرابـر با ۷ تـلـقـیـح شـد. محـیـط پـایـه مـعـدـنـی حـاوـی g ۰/۵ دـی پـتاـسـیـم هـیدـرـوـژـن فـسـفـاتـ، g ۱ کـلـرـید آـمـونـیـم ، g ۰/۰۱ سـولـفـاتـ آـهـنـ، g ۳ کـلـرـید سـدـیـم وـ هـمـچـنـین ۱ mL مـحـلـول عـنـاصـر مـیـکـرـو در ۱۰۰۰ mL آـبـ شـرب بـود. مـحـلـول عـنـاصـر مـیـکـرـو شـامـل ۵۰ mg کـلـرـید روـیـ، mg ۱۰۰ کـلـرـید منـگـنـزـ، mg ۲۰۰ کـلـرـید II، mg ۲۰ کـلـرـید مـسـ، mg ۱۰۰ کـلـرـید نـیـکـلـ، mg ۱۰۰ مـوـلـیـدـاتـ سـدـیـمـ، mg ۲۶ سـلـنـیـتـ سـدـیـمـ، mL ۱ اـسـیدـ کـلـرـیدـرـیـکـ سـدـیـمـ، mg ۳۰ وـ لـفـرـامـاتـ سـدـیـمـ، mL ۱ اـسـیدـ کـلـرـیدـرـیـکـ ۲۵ درـصـدـ وـ آـبـ مـقـطـرـ بـود. هـمـه اـرـلنـهـا بـه مـدـت ۱۴ رـوـزـ بـرـ روـیـ انـکـوـبـاتـورـ شـیـکـرـ دـارـ بـا دورـ rpm ۱۳۰ وـ دـمـای ۳۵°C وـ بـا سـهـ تـکـرارـ گـرـمـاـگـذـارـیـ شـدـ (۱۸).

## میزان تجزیه زیستی مـالـاتـیـون توـسـطـ سـوـیـهـهـای BNA1 و BNA2

جهـتـ سـنـجـشـ مـیـزانـ تـجـزـیـهـ زـیـسـتـیـ مـالـاتـیـونـ خـالـصـ توـسـطـ سـوـیـهـهـایـ BNA1 و BNA2 پـسـ اـزـ کـشتـ درـ محـیـطـ نـوـتـرـینـتـ برـاثـ باـ کـدـورـتـ نـهـایـیـ ( $OD_{600nm}$ ) ۰/۱ (۰/۰۵) برـایـ BNA1 وـ ۰/۰۵ برـایـ BNA2 بـهـ هـمـرـاهـ وـ بـدـونـ Tween 80 اـزـ اـرـلنـهـایـ ۲۵۰ mL حـاوـیـ ۵۰ mL مـحـیـطـ پـایـهـ مـعـدـنـیـ بـهـ هـمـرـاهـ ۲۰۰ μL مـالـاتـیـونـ خـالـصـ باـ pH بـرابـرـ باـ ۷ استـفادـهـ شـدـ، تـیـمـارـهـایـ اـنـجـامـ شـدـهـ درـ جـدـولـ ۱ـ آـورـدهـ شـدـهـاـنـدـ. هـمـهـ اـرـلنـهـاـ بـهـ مـدـتـ ۱۴ـ رـوـزـ بـرـ روـیـ انـکـوـبـاتـورـ شـیـکـرـ دـارـ بـا دورـ rpm ۱۳۰ وـ دـمـایـ ۳۵°C وـ بـا سـهـ تـکـرارـ گـرـمـاـگـذـارـیـ شـدـنـدـ. پـسـ اـزـ تـعـیـنـ کـارـامـدـ تـرـیـنـ تـیـمـارـ مـیـزانـ کـدـورـتـ سـلـولـیـ جـهـتـ رـسـمـ منـحـنـیـ رـشـدـ بـهـ صـورـتـ رـوزـانـهـ اـنـداـزـهـ گـیرـیـ شـدـ. جـهـتـ انـداـزـهـ گـیرـیـ کـدـورـتـ سـلـولـیـ ۱ mL اـزـ مـحـیـطـ کـشتـ بـرـداـشـتـهـ وـ مـیـزانـ جـذـبـ نـورـیـ توـسـطـ دـسـتـگـاهـ اـسـپـکـتـرـوـفـتوـمـترـ (OD<sub>600nm</sub>) خـوانـدـهـشـدـ.

مـیـزانـ مـالـاتـیـونـ L ۱۸/۱۲ μg/L اـنـداـزـهـ گـیرـیـ شـدـ. بـرـ اـسـاسـ استـانـدارـدـ اـتـحادـیـهـ اـرـوـپـاـ غـلـظـتـ مـجاـزـ آـفـتـ کـشـهـاـ بـهـ آـبـهـایـ سـطـحـیـ بـینـ L ۱ـ۳ μg/L استـ (۱۷). اـگـرـچـهـ تـاـکـنـونـ درـ زـمـینـهـ شـناـسـایـیـ وـ اـنـداـزـهـ گـیرـیـ حـشـرـهـ کـشـ مـالـاتـیـونـ درـ اـیـرانـ مـطـالـعـاتـیـ اـنـجـامـ شـدـهـ اـسـتـ، اـمـاـ درـ زـمـینـهـ بـاـکـتـرـیـهـایـ کـهـ قـادـرـ بـهـ تـجـزـیـهـ اـیـنـ تـرـکـیـبـ هـسـتـنـدـ مـطـالـعـهـایـ اـنـجـامـ نـشـدـهـ اـسـتـ. لـذـاـ بـاـ تـوجـهـ بـهـ اـسـتـفـادـهـ آـسـانـ، کـمـ هـزـينـهـ وـ کـارـامـدـ زـيـسـتـ پـالـايـيـ بـاـ دـاشـتـنـ دـانـشـ کـافـيـ مـيـ تـوانـ تـوـانـايـيـ لـازـمـ رـاـ بـرـايـ پـالـايـشـ منـاطـقـ آـلـودـهـ فـراـهـمـ آـورـدـ. هـدـفـ ماـ درـ اـيـنـ مـطـالـعـهـ بـرـرسـيـ پـتـانـسـيلـ بـاـکـتـرـیـهـایـ جـدـاسـازـیـ شـدـهـ اـزـ منـاطـقـ کـشاـورـزـیـ وـ نـفـتـ اـرـونـدـ کـنـارـ درـ تـجـزـیـهـ زـيـسـتـیـ مـالـاتـیـونـ خـالـصـ وـ هـمـچـنـینـ مـطـالـعـهـ تـاـثـيرـ کـشتـ مـيـكـسـ وـ اـسـتـفـادـهـ اـزـ سـورـفـكتـاتـ درـ تـجـزـیـهـ زـيـسـتـیـ مـالـاتـیـونـ توـسـطـ سـوـیـهـهـایـ استـفـادـهـ شـدـهـ اـسـتـ.

## مواد و روش‌ها

### کـشـتـ سـوـیـهـهـاـ

درـ اـيـنـ مـطـالـعـهـ اـزـ سـوـیـهـهـایـ BNA1 و BNA2 جـدـاسـازـیـ شـدـهـ اـزـ منـطـقـهـ اـرـونـدـکـنـارـ استـفـادـهـ گـردـیدـ. اـيـنـ منـطـقـهـ بـهـ دـلـیـلـ آـنـ کـهـ اـزـ گـذـشـتـهـهـایـ دورـ درـ مـعـرـضـ آـلـایـنـهـهـایـ هـیدـرـوـکـرـبـنـیـ مـخـتـلـفـ بـوـدـ، اـحـتمـالـ يـافـتـنـ سـوـیـهـهـایـ کـارـامـدـ جـهـتـ زـيـسـتـ پـالـايـيـ بـيـشـتـرـ اـسـتـ. بـهـ مـنـظـورـ اـرـزـيـابـيـ مـیـزانـ تـجـزـیـهـ زـيـسـتـیـ مـالـاتـیـونـ توـسـطـ سـوـیـهـهـایـ BNA1 و BNA2 اـزـ رـوـشـ اـرـائـهـ شـدـهـ توـسـطـ Shahriari Moghadam (۱۰) باـ کـمـیـ تـغـيـرـاتـ استـفـادـهـ شـدـ. اـبـتـدـاـ سـوـیـهـهـایـ مـورـدـ نـظرـ درـ اـرـلنـهـایـ شـیـارـدارـ حـاوـیـ ۵۰ mL مـحـیـطـ کـشتـ نـوـتـرـینـتـ برـاثـ ۳۵°C بـرـ روـیـ انـکـوـبـاتـورـ شـیـکـرـ دـارـ بـا دورـ rpm ۱۳۰ وـ دـمـایـ ۳۵°C گـرـمـاـگـذـارـیـ شـدـ. بـاـکـتـرـیـهـایـ باـ اـسـتـفـادـهـ اـزـ سـانـتـرـيفـيوـزـ يـخـچـالـ دـارـ Hermle Z323K رـسـوبـ دـادـهـ شـدـنـدـ وـ اـزـ آـنـهاـ جـهـتـ تـلـقـیـحـ مـحـیـطـهـایـ کـشتـ استـفـادـهـ شـدـ.

### برـرسـیـ پـتـانـسـيلـ سـوـیـهـ BNA1 درـ تـجـزـیـهـ زـيـسـتـیـ مـالـاتـیـونـ خـالـصـ

جهـتـ بـرـرسـیـ توـانـايـيـ سـوـیـهـ BNA1 درـ تـجـزـیـهـ مـالـاتـیـونـ

ANOVA) و بررسی تفاوت میان تیمارهای مختلف و تجزیه زیستی مالاتیون با کمک آزمون Tukey تعیین گردید. آزمون‌های آماری فوق توسط نرم افزار SPSS-20 انجام شد.

### یافته‌ها

بررسی پتانسیل سویه BNA1 در تجزیه زیستی مالاتیون خالص نتایج نشان داد سویه‌های BNA1 به خوبی در محیط نوترینت برات رشد کرده و به کدورت لازم برای تلقیح به محیط پایه معدنی می‌رسد. نتایج کروماتوگرافی گازی نشان داد سویه ۱۰۰  $\mu\text{L}$  BNA1 در  $50 \text{ mL}$  محیط پایه معدنی حاوی  $50 \text{ pH}$  برابر مالاتیون خالص به عنوان تنها منبع کربن و انرژی با استراتیجی  $35^\circ \text{C}$ ,  $130 \text{ rpm}$ , قادر به تجزیه ۴۲ درصد از سه مالاتیون (در محیط پایه معدنی حاوی  $100 \mu\text{L}$  مالاتیون خالص) هست. نمودار ۱ نشان‌دهنده محل قرارگیری پیک مالاتیون در کروماتوگرام ثبت شده توسط دستگاه کروماتوگرافی گازی است، مالاتیون در زمان  $13/97 \text{ min}$  از ستون خارج شده است.

### میزان تجزیه زیستی مالاتیون توسط سویه‌های BNA1 و BNA2

نتایج آزمون شاپیرو نشان داد، داده‌ها از توزیع نرمال پیروی می‌کنند ( $p=0.40$ ,  $n=18$ ). نتایج آزمون آنالیز واریانس یک طرفه نشان داد ارتباط معنی‌داری بین تیمارهای مختلف وجود دارد ( $p=0.03$ ,  $n=18$ ,  $p=0.40$ ). نتایج مقایسه دو به دوی تیمارها براساس آزمون توکی در جدول ۲ آورده شده است. بیشترین میزان تجزیه مالاتیون در محیط پایه معدنی حاوی  $200 \mu\text{L}$  مالاتیون خالص در تیمار شماره ۶ (درصد ۷۹/۶۷) و در حضور هر دو سویه استفاده شده (BNA1, BNA2) و بدهست آمد. در حالی که کمترین میزان تجزیه زیستی مالاتیون (درصد ۴۵/۲۶) در تیمار شماره ۲ (سویه BNA2) بدست آمد. نتایج میزان تجزیه زیستی مالاتیون در تیمارهای مختلف در نمودار ۲ آورده شده است. نتایج میزان جذب نوری اندازه‌گیری شده در تیمار شماره ۶ (کارامدترین

جدول ۱- تیمارهای مختلف انجام شده جهت مطالعه میزان تجزیه زیستی مالاتیون خالص توسط سویه‌های BNA1 و BNA2

تیمار	سویه استفاده شده	۱ درصد Tween 80
۱	BNA1	-
۲	BNA2	-
۳	BNA1 + BNA2	-
۴	BNA1	+
۵	BNA2	+
۶	BNA1 + BNA2	+

### استخراج و سنجش میزان مالاتیون

جهت استخراج مالاتیون از محیط‌های کشت (تمامی محیط کشت  $50 \text{ mL}$ ) استفاده شد) به هر ارلن  $25 \text{ mL}$  اتیل استرات اضافه و به مدت  $15 \text{ min}$  به خوبی مخلوط گردید. سپس فاز آبی جدا شده و فاز آبی مجدداً توسط  $25 \text{ mL}$  اتیل استرات استخراج گردید. در پایان دو استخراج با هم مخلوط و توسط سولفات سدیم به طور کامل آب‌گیری شدند و حجم نهایی به  $50 \text{ mL}$  رسانیده شد. در حدود  $1 \text{ mL}$  از استخراج به ویال‌های  $1/5 \text{ mL}$  تیره منتقل و تا زمان آنالیز در فریزر نگهداری شدند. جهت آنالیز نمونه‌ها  $1 \mu\text{L}$  از محلول استخراج شده به دستگاه کروماتوگرافی گازی مدل Agilent 7890A مجهز به آشکارساز FID تزریق گردید. ستون استفاده شده در دستگاه از نوع HP-5MS مowin (Agilent) به طول  $30 \text{ m}$  قطر داخلی  $0.25 \mu\text{m}$  و  $0.25 \text{ mm}$  ضخامت لایه داخلی بود. دمای محفظه تزریق  $250^\circ \text{ C}$ , دمای آشکارساز  $250^\circ \text{ C}$  بود و از گاز نیتروژن به عنوان گاز حامل استفاده شد. دمای آون از  $80^\circ \text{ C}$  به  $120^\circ \text{ C}$  با نرخ  $10^\circ \text{ C/min}$  در دقیقه تنظیم گردید (۱۹).

### تجزیه و تحلیل آماری

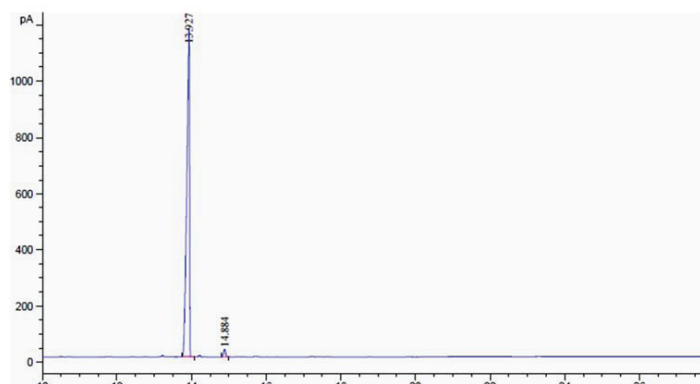
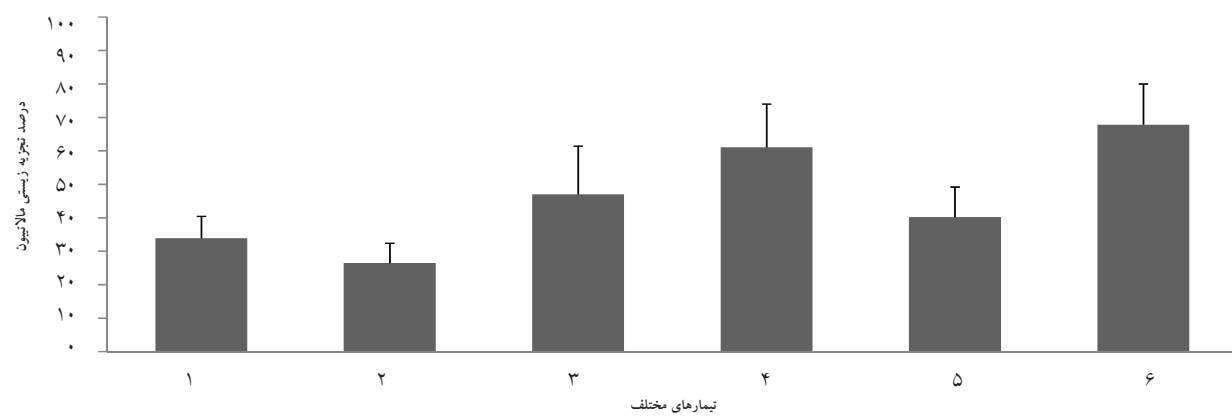
پس از بررسی نرمالیتی داده‌ها با استفاده از آزمون شاپیرو، مقایسه تاثیر تیمارهای مختلف بر میزان تجزیه زیستی مالاتیون با استفاده از آنالیز تجزیه واریانس یک طرفه one-way

بакتری وارد فاز رشد لگاریتمی شده و بیشترین میزان جذب نوری  $48\text{ h}$  پس از تلقیح سویه‌ها سنجش شد (نمودار۳).

تیمار) نشان داد، در شروع آزمایش یک فاز تاخیری وجود دارد (۲۴ ساعت اول). در این مرحله باکتری‌ها آنزیم‌ها و مواد لازم را برای وارد شده به فاز لگاریتمی سنتز می‌کنند. پس از آن

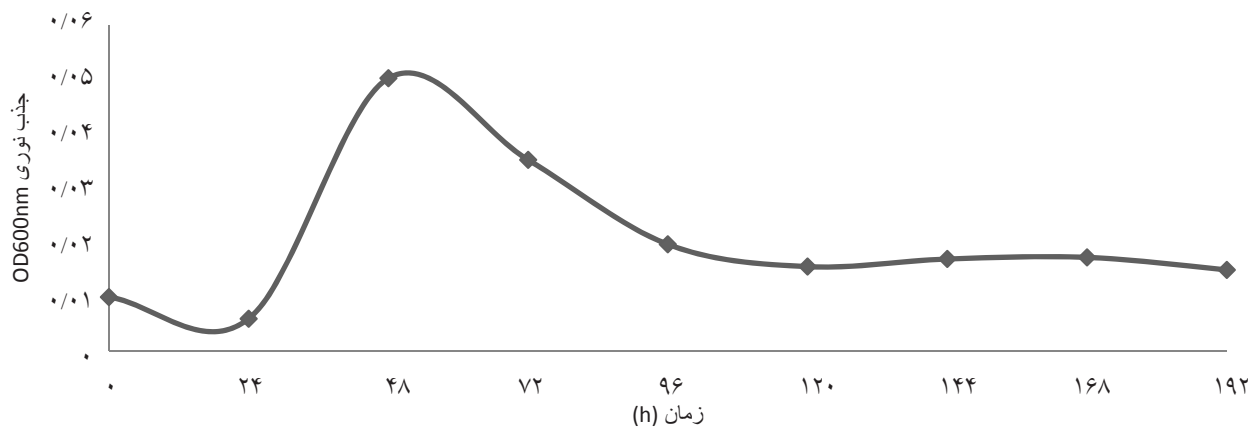
جدول ۲- نتایج مقایسه دو به دوی تیمارهای مختلف براساس آزمون توکی

BNA1 + BNA2+ M+1%Tween80	BNA2 + M+1%Tween80	BNA1+ M+1%Tween80	BNA1+BNA2+ M	BNA2+ M	BNA1+ M	تیمارهای مختلف
					۰/۹۵۱	BNA2+ M
				۰/۲۴۸	۰/۶۷۲	BNA1+BNA2+ M
			۰/۶۰۵	۰/۰۱۸	۰/۰۷۵	BNA1+ M+1%Tween80
	۰/۲۳۳	۰/۹۶۶	۰/۲۳۰	۰/۹۷۶	۰/۹۶۰	BNA2 + M+1%Tween80
۰/۰۶۹	۰/۹۶۷	۰/۲۳۴	۰/۰۰۵	۰/۰۲۱	۰/۰۶۹	BNA1 + BNA2+ M+1%Tween80

نمودار ۱- کروماتوگرام (کروماتوگرافی گازی) تجزیه زیستی مالاتیون خالص، مالاتیون در زمان  $13/۹۷\text{ min}$  از ستون خارج شده است.

نمودار ۲- درصد تجزیه مالاتیون خالص در تیمارهای مختلف

+ BNA2 -۵ : Tween80؛ -۲ : + BNA2 + BNA1 -۳ : + مالاتیون؛ -۴ : + BNA1 + BNA2 + BNA1 -۱ : + مالاتیون؛ -۶ : Tween80 + BNA2 + BNA1 -۵ : Tween80 + مالاتیون + BNA1 -۱ : مالاتیون + Tween80 + BNA2 + BNA1 -۶ : Tween80 + مالاتیون + BNA1 -۱ : مالاتیون

نمودار ۳- میزان جذب نوری اندازه گیری شده ( $OD_{600nm}$ ) در تیمار شماره ۶

است که به لحاظ دارا بودن توانایی بالا در تجزیه مواد مختلف از جمله ترکیبات ارگانوفسفره شناخته می‌شوند (۲۵، ۲۶). همچنین سویه استفاده شده در این مطالعه قابلیت بالایی در تولید بیوسورفکتانت در محیط پایه معدنی دارا است. ترکیبات آلی آبگریز (مانند ارگانوفسفره) حلالیت کمی در محیط آبی دارند و تجزیه زیستی چنین ترکیباتی به دلیل دستررسی زیستی کم میکروارگانیسم‌ها به آنها محدود می‌شود. جهت افزایش میزان دستررسی آنها در محیط باید به نحوی میزان حلالیت آنها را در محیط افزایش داد. در فرم تجاری و فرموله شده، حلالیت مالاتیون با استفاده از امولسیفایرهای مختلف مانند انواع سورفکتانت‌ها افزایش می‌یابد. نتایج محققین نشان داده است افزایش حلالیت حشره کش‌ها، موجب افزایش در دستررس بودن حشره کش توسط میکروارگانیسم می‌شود، در نتیجه سرعت تجزیه زیستی نیز افزایش می‌یابد (۲۷).

به منظور مطالعه میزان تاثیر سورفکتانت‌ها بر تجزیه زیستی مالاتیون توسط سویه‌های BNA1 و BNA2 از Tween 80 استفاده شد. سورفاکتانت‌ها ترکیبات دوگانه دوست بوده، کشش سطحی را کاهش می‌دهند و میزان حلالیت را در محیط آبی افزایش می‌دهند و در نتیجه موجب افزایش دستررسی زیستی به این ترکیبات می‌شود. نتایج مطالعات صورت گرفته در مورد

## بحث

فعالیت‌های صنعتی و کشاورزی مقادیر قابل توجهی از مواد آلاینده را پیوسته وارد محیط زیست می‌کنند. حشره کش‌های ارگانوفسفره از جمله مهمترین آلاینده‌هایی هستند که با وجود سمیت بالا، به طور وسیع استفاده و پیوسته وارد محیط می‌شوند، در نتیجه نیاز به تکامل روش‌های کارامد جهت پایش مناطق آلوده ضروری است. سموم ارگانوفسفره توسعه میکروارگانیسم‌های محیطی تجزیه می‌شوند، میکروارگانیسم‌ها با استفاده از آنزیم‌های فسفودیاستراز، کربوکسیل استراز و همچنین ارگانوفسفات‌های هیدرولاز سموم ارگانوفسفره را هیدرولیز و به موادی با سمیت کمتر تبدیل می‌کنند (۲۰). در مطالعه حاضر سویه‌های BNA1 و BNA2 جداسازی شده، BNA1 از رسوبات منطقه ارونده کنار استفاده شدند. سویه BNA1 سویه‌ای از گونه *Serratia marcescens* گزارش از تجزیه سموم ارگانوفسفره توسط *Serratia sp.* sp. ارائه شده است (۲۱-۲۳). همچنین Xu و همکاران (۲۴) تجزیه زیستی سم ارگانوفسفره کلرپیریفوس را توسط *Trichosporon sp.* و *Serratia sp.* مخلوطی از *Pseudomonas aeruginosa* مطالعه کردند. سویه‌ای از گونه *aeruginosa* هست. جنس سودوموناس شامل گونه‌هایی

## (BNA1 + BNA2 + Malthion + Tween80)

مشاهده گردید. مطالعات نشان داده اند تجزیه زیستی مخلوط باکتری ها نسبت به کشت خالص کارامدتر هست. ساختار و تنوع یک جمعیت باکتریایی تعیین کننده توان متابولیکی آنها است (۳۴). این امر می تواند به دلیل توانایی بیشتر آنزیمی و همچنین فرایند های کومتابولیسمی مخلوط باکتریایی نسبت به سویه های خالص است (۳۵، ۳۶). مثال هایی از تجزیه ترکیبات شیمیایی مختلف توسط Singh و همکاران (۳۷) مطالعه ای با هدف تجزیه زیستی مالاتیون Bacillus sp. انجام توسط میکسی از سویه های مختلف دادند. نتایج این محققیق نشان داد استفاده از میکس باکتریایی در تجزیه مالاتیون نتیجه بهتری را نسبت به استفاده سویه ها به صورت خالص دارا است. نتایج بدست آمده در مطالعه حاضر نیز تأیید کننده نتایج این محققین است.

با توجه به آن که مطالعات صورت گرفته در زمینه تجزیه زیستی مالاتیون در شرایط مختلفی از غلظت مالاتیون و طول دوره آزمایش اجرا شده اند، انجام مقایسه نتایج به دست آمده در تحقیق حاضر با نتایج دیگر محققین خالی از اشکال قابل نیست. سویه *Acinetobacter baumannii* AFA به تجزیه ۸۴درصد از میزان مالاتیون موجود در محیط کشت با تجزیه ۱۰۰ mg/L در طی ۱۴ روز است (۳۸) همچنین سویه *Bacillus cereus* PU و *Brevibacillus* sp. KB2 قادر به تجزیه ۲۲ درصد و ۴۹/۳۱ درصد مالاتیون موجود در محیط کشت ( $\mu$ L) ۱۵۰ در ۱۰۰ mL محیط کشت (پس از ۷ روز بودند) (۱۱). در مطالعه حاضر بیشترین میزان تجزیه زیستی ۶۷ درصد به دست آمده است که نسبت به نتایج Singh و همکاران (۱۱) بیش تر و نسبت به نتایج Azmy و همکاران (۳۸) کمتر است. شایان ذکر است در مطالعه حاضر شرایط بهینه تجزیه زیستی مالاتیون توسط سویه های استفاده شده تعیین نشده است، در صورت تعیین شرایط بهینه ممکن است بتوان در زمان کمتر به بیشترین میزان تجزیه زیستی رسید.

تأثیر سورفکتانت ها بر میزان تجزیه زیستی خیلی متنوع است، استفاده از سورفکتانت ها در زیست پالایی آلاینده ها، موجب افزایش حلالیت آنها و در نتیجه تجزیه آنها در محیط می شود، اگرچه در برخی موارد استفاده از آنها در زیست پالایی بی اثر و یا حتی دارای اثرات منفی بوده است (۲۹) نتایج تحقیق حاضر نشان داد استفاده از سورفکتانت موجب افزایش قابل ملاحظه ای در تجزیه زیستی مالاتیون توسط سویه های استفاده شده می شود (۱۷/۲۷ و ۱۳/۷۲ درصد به ترتیب توسط BNA1 و BNA2).

(BNA1+BNA2+۳ Malathion در تیمار ۳) نشان داد استفاده از سویه BNA2 با قابلیت تولید بیوسورفاکتانت موجب افزایش کارایی سویه BNA1 در تجزیه زیستی مالاتیون می شود (۱۳/۰۸ درصد). بیوسورفاکتانت ها نیز مانند سورفاکتانت ها ترکیبات دوگانه دوست بوده و کشش سطحی را کاهش می دهند، ترکیباتی غیرسمی، بی خطر، زیست تخریب پذیر بوده و موجب افزایش در دسترس بودن ترکیبات نامحلول در محیط آبی می شوند (۳۰) گزارش هایی از تجزیه سموم ارگانوفسفره به کمک بیوسورفاکتانت ها ارائه شده است. Singh و همکاران (۳۱) در تحقیقی از تجزیه سم ارگانوفسفره کلروپیریفوس به کمک بیوسورفاکتانت تولید شده از Pseudomonas sp. خبر دادند. همچنین گزارشی از تاثیر بیوسورفاکتانت بر تجزیه سموم ارگانوفسفره توسط باکتری Nocardia mediterranica ارائه شده است (۳۲) که نتایج ما نیز یافته های این محققین را تایید می کند. کنترل و تعیین شرایط زیست پالایی امری پیچیده بوده و فاکتور های مختلفی از قبیل وجود جمعیت باکتریایی با توان تجزیه زیستی آلاینده، دسترسی میکرو اگانیسم ها به مواد آلاینده و دیگر شرایط محیطی در آن اهمیت دارند. جهت دستیابی به راندمان بالا در تجزیه زیستی، کنترل و تعیین شرایط زیست پالایی اهمیت ویژه ای دارد (۳۳). در مطالعه حاضر بیشترین میزان تجزیه زیستی (۴۲/۶۸ درصد) در تیمار شماره ۶

پایلوت می‌تواند برای زیست پالایی مناطق آلوده به سوم  
ارگانوفسفره استفاده کردد.

### تشکر و قدردانی

این مقاله حاصل بخشی از پایان‌نامه با عنوان جداسازی،  
شناسایی و تعیین شرایط بهینه رشد باکتری (های) تجزیه  
کننده سم ارگانوفسفره مالاتیون از منطقه اروندکنار در مقطع  
کارشناسی ارشد در سال ۱۳۹۳ است که با حمایت دانشگاه  
شهید بهشتی انجام شده است.

### منابع

1. Singh BK, Walker A. Microbial degradation of organophosphorus compounds. *FEMS Microbiology Reviews*. 2006;30(3):428-71.
2. El-Queny F, Abdel-Megeed A. Phytoremediation and detoxification of two organophosphorous pesticides residues in Riyadh area. *World Applied Sciences Journal*. 2009;6(4):570-78.
3. Dhouib IE-B, Lasram MM, Annabi A, Gharbi N, El-Fazaa S. A comparative study on toxicity induced by carbosulfan and malathion in Wistar rat liver and spleen. *Pesticide Biochemistry and Physiology*. 2015;124:21-28.
4. González-Alzaga B, Lacasaña M, Aguilar-Garduño C, Rodríguez-Barranco M, Ballester F, Rebagliato M, et al. A systematic review of neurodevelopmental effects of prenatal and postnatal organophosphate pesticide exposure. *Toxicology Letters*. 2014;230(2):104-21.
5. Waddell BL, Zahm SH, Baris D, Weisenburger DD, Holmes F, Burmeister LF, et al. Agricultural use of organophosphate pesticides and the risk of non-Hodgkin's lymphoma among male farmers (United States). *Cancer Causes & Control*. 2001;12(6):509-17.
6. Gavrilescu M. Fate of pesticides in the environment and its bioremediation. *Engineering in Life Sciences*. 2005;5(6):497-526.
7. Ramos-Delgado N, Hinojosa-Reyes L, Guzman-Mar I, Gracia-Pinilla M, Hernández-Ramírez A. Synthesis by sol-gel of WO<sub>3</sub>/TiO<sub>2</sub> for solar photocatalytic degradation of malathion pesticide. *Catalysis Today*. 2013;209:35-40.
8. Zhang Y, Pagilla K. Treatment of malathion pesticide wastewater with nanofiltration and photo-Fenton oxidation. *Desalination*. 2010;263(1):36-44.
9. Mohamed K, Basfar A, Al-Kahtani H, Al-Hamad K. Radiolytic degradation of malathion and lindane in aqueous solutions. *Radiation Physics and Chemistry*. 2009;78(11):994-1000.
10. Shahriari Moghadam M, Ebrahimipour G, Abtahi B, Ghassemipour A. Isolation, identification and optimization of phenanthrene degrading bacteria from the coastal sediments of Nayband Bay. *Jundishapur Journal of Microbiology*. 2013;6(9): e13816.
11. Singh B, Kaur J, Singh K. Transformation of malathion by *Lysinibacillus* sp. isolated from soil. *Biootechnology Letters*. 2012;34(5):863-67.
12. Li X, He J, Li S. Isolation of a chlorpyrifos-degrading bacterium, *Sphingomonas* sp. strain Dsp-2, and cloning of the mpd gene. *Research in Microbiology*. 2007;158(2):143-49.
13. Struthers J, Jayachandran K, Moorman T. Biodegradation of atrazine by *Agrobacterium radiobacter* J14a and use of this strain in bioremediation of contaminated soil. *Applied and Environmental Microbiology*. 1998;64(9):3368-75.
14. Okamoto Y, Shibamoto T. Degradation of malathion, in aqueous extracts of asparagus (*Asparagus officinalis*). *Journal of Agricultural and Food Chemistry*. 2004;52(19):5919-23.
15. Shan X, Junxin L, Lin L, Chuanling Q. Biodegradation of malathion by *Acinetobacter johnsonii* MA19 and optimization of cometabolism substrates. *Journal of Environmental Sciences*. 2009;21(1):76-82.
16. Karyab H, Mahvi AH, Nazmara S, Bahojb A. Determination of water sources contamination to diazi-

### نتیجه‌گیری

به طور کلی نتایج این تحقیق نشان داد سویه‌های استفاده شده در این مطالعه توانایی قابل توجهی در تجزیه مالاتیون دارند. با توجه به آن که سویه‌های استفاده شده در این مطالعه قادر به تجزیه مالاتیون در غلظت بالای او لیه هستند می‌توان از آنها در منطقی که میزان آلودگی بالا است نیز استفاده نمود. همچنین بهترین کارایی این سویه‌ها زمانی بدست می‌آید که به صورت میکس استفاده شوند. نتایج این مطالعه پس از انجام مطالعات

- non and malathion and spatial pollution patterns in Qazvin, Iran. *Bulletin of Environmental Contamination and Toxicology*. 2013;90(1):126-31.
17. Fadaei A, Dehghani MH, Nasseri S, Mahvi AH, Rastkari N, Shayeghi M. Organophosphorous pesticides in surface water of Iran. *Bulletin of Environmental Contamination and Toxicology*. 2012;88(6):867-69.
18. Schlegel H. *Allgemeine Mikrobiologie*. Germany: Georg Thieme Verlag; 1992.
19. Bavcon M, Trebše P, Zupančič-Kralj L. Investigations of the determination and transformations of diazinon and malathion under environmental conditions using gas chromatography coupled with a flame ionisation detector. *Chemosphere*. 2003;50(5):595-601.
20. Makkar RS, DiNovo AA, Westwater C, Schofield DA. Enzyme-mediated bioremediation of organophosphates using stable yeast biocatalysts. *Journal of Bioremediation & Biodegradation*. 2013;4:182. doi:10.4172/2155-6199.1000182.
21. Abo-Amer AE, Amer AEA. Biodegradation of diazinon by *Serratia marcescens* DI101 and its use in bioremediation of contaminated environment. *Journal of Microbiology and Biotechnology*. 2011;21(1):71-80.
22. Cycoń M, Źmijowska A, Wójcik M, Piotrowska-Seget Z. Biodegradation and bioremediation potential of diazinon-degrading *Serratia marcescens* to remove other organophosphorus pesticides from soils. *Journal of Environmental Management*. 2013;117:7-16.
23. Kannan V, Vanitha V. Influence of assay medium on degradation of malathion by *Serratia marcescens*. *Indian Journal of Biotechnology*. 2005;4(2):277-83.
24. Xu G, Li Y, Zheng W, Peng X, Li W, Yan Y. Mineralization of chlorpyrifos by co-culture of *Serratia* and *Trichosporon* spp. *Biotechnology Letters*. 2007;29(10):1469-73.
25. Abo-Amer A. Involvement of chromosomally-encoded genes in malathion utilization by *Pseudomonas aeruginosa* AA112. *Acta Microbiologica et Immunologica Hungarica*. 2007;54(3):261-77.
26. Imran H, Altaf KM, Jong-Guk K. Degradation of malathion by *Pseudomonas* during activated sludge treatment system using principal component analysis (PCA). *Journal of Environmental Sciences*. 2005;18(4):797-804.
27. Chowdhury A, Pradhan S, Saha M, Sanyal N. Impact of pesticides on soil microbiological parameters and possible bioremediation strategies. *Indian Journal of Microbiology*. 2008;48(1):114-27.
28. Shahgholi H, Gholamalizadeh Ahangar A. Factors controlling degradation of pesticides in the soil environment A Review. *Agriculture Science Developments*. 2014;3(8):273-78.
29. Laha S, Luthy RG. Inhibition of phenanthrene mineralization by nonionic surfactants in soil-water systems. *Environmental Science & Technology*. 1991;25(11):1920-30.
30. Pacwa-Płociniczak M, Plaza GA, Piotrowska-Seget Z, Cameotra SS. Environmental applications of biosurfactants: recent advances. *International Journal of Molecular Sciences*. 2011;12(1):633-54.
31. Singh P, Sharma S, Saini H, Chadha B. Biosurfactant production by *Pseudomonas* sp. and its role in aqueous phase partitioning and biodegradation of chlorpyrifos. *Letters in Applied Microbiology*. 2009;49(3):378-83.
32. Sukirtha T, Usharani M. Production and qualitative analysis of biosurfactant and biodegradation of the organophosphate by *Nocardia mediterranei*. *Journal of Bioremediation & Biodegradation*. 2013;4:198. doi: 10.4172/2155-6199.1000198.
33. Leahy JG, Colwell RR. Microbial degradation of hydrocarbons in the environment. *Microbiological Reviews*. 1990;54(3):305-15.
34. Galvão TC, Mohn WW, de Lorenzo V. Exploring the microbial biodegradation and biotransformation gene pool. *Trends in Biotechnology*. 2005;23(10):497-506.
35. Casellas M, Grifoll M, Sebaté J, Solanas A. Isolation and characterization of a fluorene-degrading bacterial strain and its role in synergistic degradation of fluorene by a consortium. *Canadian Journal of Microbiology*. 1998;44(48):734-42.
36. Sugiura K, Ishihara M, Shimauchi T, Harayama S. Physicochemical properties and biodegradability of crude oil. *Environmental Science & Technology*. 1996;31(1):45-51.
37. Singh B, Kaur J, Singh K. Bioremediation of malathion in soil by mixed *Bacillus* culture. *Advances in Bioscience and Biotechnology*. 2013;4(5):674-78.
38. Azmy AF, Saafan AE, Essam TM, Amin MA, Ahmed SH. Biodegradation of Malathion by *Acinetobacter baumannii* Strain AFA Isolated from Domestic Sewage in Egypt. *Biodegradation*. 2014;34(5):863-67.



Available online: <http://ijhe.tums.ac.ir>

Original Article



## Biodegradation of Malathion using mixed culture of *Serratia marcescens* BNA1 and *Pseudomonas aeruginosa* BNA2

B. Nadalian<sup>1</sup>, M. Shahriari Mogadam<sup>2\*</sup>, G.H. Ebrahimipour<sup>1</sup>, B Nadalian<sup>1</sup>

<sup>1</sup> Faculty of Biological Science, Shahid Beheshti University, GC, Tehran, Iran.

<sup>2</sup> Department of Environment, Faculty of Natural Resources, University of Zabol, Zabol, Sistan va Blaoochestan, Iran

---

### ARTICLE INFORMATIONS:

---

Received: 17 October 2015;

Accepted: 11 January 2016

---

### ABSTRACT

---

**Background and Objectives:** Organophosphate pesticides are used most commonly for domestic, commercial, and agricultural purposes and have been found to be highly toxic. In essence, bioremediation has become one of the most important tools for removing these compounds in the environment, considering its higher efficiency when compared with the physicochemical methods.

**Materials and Methods:** The biodegradation efficiency of two bacterial strains (i.e. *Serratia marcescens* BNA1 and *Pseudomonas aeruginosa* BNA2) were assessed. In order to evaluate Malathion biodegradation, each sample was cultured on mineral salts medium containing Malathion as a sole carbon source. Malathion biodegradation efficiency of the strains was monitored in different culture media. The ability of bacterial isolates to degrade Malathion was studied using gas chromatography.

**Results:** *Serratia marcescens* BNA1 and *Pseudomonas aeruginosa* BNA2 were able to degrade Malathion. Biodegradation percentage in different treatments recorded were: BNA1+Ma (33.88%), BNA2+MA (26.45%), BNA1+BNA2+Ma (46/96%), BNA1+Ma+Tween (61.05%), BNA2+Ma+Tween (40.17%), and BNA1+BNA2+Ma+ Tween (67.79%).

**Conclusion:** It could be speculated that the best degradation efficiency can be yielded using mixture of strains plus a surfactant. The results of this study can be used in the bioremediation of Malathion contaminate soil after doing the pilot experiments.

**Key words:** Malathion, biodegradation, *Serratia marcescens*,

*Pseudomonas aeruginosa*

---

### \*Corresponding Author:

mohsen.shahriari@uoz.ac.ir

Mob: +989122508847

Fax: +98 542222882

---

Please cite this article as: Nadalian B, Shahriari Mogadam M, Ebrahimipour GH, Nadalian B. Biodegradation of malathion using mixed culture of *Serratia marcescens* BNA1 and *Pseudomonas aeruginosa* BNA2. Iranian Journal of Health and Environment. 2016;8(4):525-34.

---